



شانزدهمین سمینار ملی مهندسی سطح

بهمن ماه ۱۳۹۴^۲

انجمن علم و تکنولوژی سطح ایران

تأثیر چگالی جریان آبکاری بر ایجاد پوشش‌های آلیاژی Ni-Sn-P و مطالعهٔ رفتار خوردگی پوشش‌ها

مهندز یعقوبی^۱, نقی پروینی احمدی^۱, پروانه اصل فرشابف^۱, بهروز بستانی^۲

^۱. دانشگاه صنعتی سهند (کارشناس ارشد خوردگی و حفاظت از مواد)

^۲. دانشگاه صنعتی سهند (استاد دانشکدهٔ مهندسی مواد)

^۳. دانشگاه صنعتی سهند (دانشجوی دکتری مهندسی مواد)

چکیده

با استفاده از برخی روش‌ها می‌توان پوشش‌های آلیاژی را بر روی سطوح مختلف اعمال نمود و برای اهداف ویژه آن‌ها مورد استفاده قرار داد. از جمله پوشش‌های آلیاژی که اغلب توسط محققان مورد مطالعه قرار گرفته است، پوشش‌های آلیاژی Ni-Me-P است. ویژگی‌های جالب توجه عنصر قلع منجر به مطالعهٔ رسوب نشانی الکتریکی همزممان این عنصر با ماتریس Ni-P شده است. در این تحقیق، چگالی جریان رسوب‌دهی الکتریکی تغییر داده شده و تأثیر آن بر ویژگی‌های این نوع پوشش‌ها مورد مطالعه قرار گرفته است. ترکیب این پوشش‌های آلیاژی با استفاده از EDX مطالعه شده و چنین مشاهده شده است که در چگالی جریان ۲/۵ آمپر بر دسی متر مربع پوشش Sn-Ni-P (درصد بالای قلع) ایجاد می‌شود و در چگالی جریان ۲/۵ آمپر بر دسی متر مربع، پوشش Ni-Sn-P (درصد بالای نیکل) تشکیل می‌شود. افزایش چگالی جریان آبکاری تا ۴/۵ آمپر بر دسی متر مربع باعث ایجاد نایکنواختی ترکیب در سطح شده است. مورفولوژی سطحی پوشش‌ها نیز با استفاده از FESEM مطالعه شده است و چنین مشاهده شده است که در چگالی جریان ۴/۵ آمپر بر دسی متر مربع، پوشش دارای دو نوع مورفولوژی روی سطح است. مطالعه رفتار خوردگی پوشش‌ها در محیط اسید سولفوریک ۱۰ درصد وزنی، نشان داد که پوشش Ni-Sn-P (درصد بالای نیکل) ایجاد شده در ۳/۵ آمپر بر دسی متر مربع دارای بیشترین مقاومت به خوردگی است.

واژه‌های کلیدی: رسوب نشانی الکتریکی، Sn-Ni-P، Ni-Sn-P، رفتار خوردگی در محیط سولفاتانی.

^۱ Mahnazyagoobi@gmail.com

مقدمه

ایجاد پوشش‌های فلزی از مهم ترین فرآیندهای تکمیلی بر روی مواد مهندسی است که برای اهداف مختلفی از جمله افزایش مقاومت به خوردگی و سایش، افزایش هدایت الکتریکی و ... مورد استفاده قرار می‌گیرد. با استفاده از برخی روش‌های تنها فلزات خالص بلکه محدوده‌ی وسیعی از آلیاژها نیز می‌تواند رسوب داده شود [۱]. پوشش‌های آلیاژی Ni-P الکترولیس حز و پوشش‌های آلیاژی هستند که کاربرد صنعتی آنها مورد توجه قرار گرفته است. ویژگی‌های جالب توجه این آلیاژها منجر به مطالعاتی در زمینه‌ی رسوب نشانی الکتریکی این آلیاژها شده است [۲] در ادامه‌ی تحقیقات در زمینه‌ی این پوشش‌ها اغلب یا عنصر فلزی دوم بسته به کاربرد مورد نظر به ماتریس Ni-P افزوده می‌شد و یا پوشش‌های آلیاژی Ni-Me همراه با فسفر رسوب نشانی شده است [۳-۵] بطور مثال پوشش‌های آلیاژی Ni-Cu-P دارای رفتار مقاومت به خوردگی عالی هستند [۶] و یا پوشش‌های Ni-Fe-P دارای رفتار مقاومت به سایشی و خواص مغناطیسی خوب هستند [۷] ویژگی‌های بارز قلع شامل خاصیت غیر سمی، مقاومت به خوردگی خوب و قابلیت لحیم کاری عالی است [۸]. این ویژگی‌ها از یک طرف و کاربردهای پوشش‌های Ni-Sn رسوب نشانی الکتریکی شده در زمینه‌ی بردهای مدار چاپی و استفاده از آن بعنوان آند برای ساخت باتری‌های یون-لیتیم [۹] ما را بر آن داشت که رسوب نشانی الکتریکی پوشش‌های Ni-Sn-P را مورد مطالعه قرار دهیم.

ایجاد این پوشش‌های آلیاژی اغلب بصورت الکترولیس انجام گرفته است. ژانگ^۱ و همکارانش پوشش Ni-Sn-P الکترولیس بر روی زیرلایه‌ی آلیاژ منیزیم AZ91D با درصدهای وزنی ۲/۴۸ Sn و ۰/۵۱ P ایجاد نمودند و رفتار خوردگی بهتری را برای این پوشش نسبت به پوشش Ni-P گزارش نمودند [۱۰]. پوشش‌های Sn-Ni-P به روش رسوب نشانی الکتریکی توسط یان-وانگ^۲ ایجاد شده است و کاربرد آن بعنوان آند در باتری‌های یون-لیتیم مورد بررسی قرار گرفته است [۱۱]. همچنین وانگ^۳ و همکارانش رفتار خوردگی آلیاژهای Ni-Sn-P رسوب نشانی الکتریکی شده را با درصد وزنی قلع در محدوده‌ی ۲/۹۱ تا ۴/۰۵ در محلول اسید سولفوریک مورد مطالعه قرار داده اند و چنین نتیجه گیری کرده اند که با افزایش درصد وزنی قلع رفتار خوردگی نسبت به پوشش Ni-P بهبود می‌یابد [۱۲]. در این تحقیق، تأثیر چگالی جریان رسوبدهی الکتریکی را بر ایجاد این پوشش‌های آلیاژی مورد مطالعه قرار دادیم.

مواد و روش تحقیق

ورقی از جنس مس با ابعاد 20mm×10mm×1mm به عنوان زیرلایه انتخاب شد. به منظور آماده سازی نمونه‌ها تا سباده ۵۰۰۰ ضیقل کاری مکانیکی شدند. پیش از رسوبدهی، هر نمونه به ترتیب در حمام

¹ Zhang² Yun-Wang³ Wang

اولتراسونیک بمدت ۱۰ دقیقه در اتانول و ۱۰ دقیقه در استون در دمای محیط تمیز کاری شد. در ادامه، نمونه ها با استفاده از محلول پرداخت کاری حاوی ۱ لیتر اسید نیتریک و ۱۰ میلی لیتر اسید کلرید ریک [۱۲] بمدت ۳۰ ثانیه پرداخت شده و بعد از آبکشی بلا فاصله به حمام آبکاری منتقل شدند. برای رسوب نشانی الکتریکی از ورق نیکلی با مساحت ۱۰ برابر کانتد استفاده شد. آند بطور موازی با کانتد و با فاصله $1/5$ سانتی متری قرار گرفت. فرآیند پوشش کاری در دمای 1 ± 65 درجه سانتی گراد و $pH = ۳/۵$ بمدت ۳۰ دقیقه در حمامی با ترکیب نشان داده شده در جدول ۱ انجام گرفت. سرعت همزدن حمام در حین پوششکاری برابر با ۱۵۰ دور بر دقیقه بود. لازم به توضیح است که در این حمام هیپوفسفیت سدیم عنوان منبع فسفر، سولفات نیکل عنوان منبع نیکل، کلرید قلع عنوان منبع قلع، سدیم سیترات عنوان عامل کمپلکس ساز و سدیم کلرید نیز عنوان نمک رسانا در حمام بکار رفته است.

جهت بدست آوردن ترکیبات مختلفی از پوشش، چگالی جریان های $۲/۵$ ، $۳/۵$ و $۴/۵$ آمپر بر دسی متر مربع بررسی شد. برای بررسی مورفوولوژی سطحی پوشش های ایجاد شده در چگالی جریان های مختلف و تاثیر این پارامتر بر مورفوولوژی سطحی پوشش از دستگاه میکروسکوپ الکترونی رویشی نشر میدانی مدل MIRAS استفاده شد. برای حصول اطمینان از تشکیل پوشش آلیاژی سه تایی و بررسی تاثیر چگالی جریان بر ترکیب پوشش، آنالیز عنصری با استفاده از دستگاه EDX مجهر به دستگاه مزبور استفاده شد.

برای بررسی رفتار خوردگی این پوشش های آلیاژی از دستگاه 2263 EG & GPARstat همراه با سلول سه الکترودی با الکترود مخالف از جنس ورق پلاتین، الکترود شاهد KCl اشباع و نمونه های پوشش دهنده شده با ابعاد $1\text{ cm} \times 1\text{ cm}$ استفاده شد. قبل از اجرای تست پلاریزاسیون، نمونه ها در محیط اسید سولفوریک بمدت ۱۵ دقیقه غوطه ور شدند تا پتانسیل مدار باز پایدار شود. تست پلاریزاسیون در محدوده ۱۵۰ ± ۱۵ نسبت به پتانسیل مدار باز با سرعت روشن ۱ میلی ولت بر ثانیه در محیط اسید سولفوریک ۱ درصد وزنی و دمای محیط انجام شد. نتایج الکتروشیمیایی با استفاده از روش بروونیابی تأثیری استخراج شده و شدت جریان خوردگی با استفاده از رابطه $\text{E}_{\text{corr}} = \text{E}_{\text{corr}}^{\text{ref}} + \frac{RT}{4F} \ln \left(\frac{I_{\text{corr}}}{I_{\text{corr}}^{\text{ref}}} \right)$ محاسبه شد [۱۴].

$$i_{corr} = \frac{\beta_a \times \beta_c}{2.3R_p(\beta_a + \beta_c)} \quad (1)$$

نتایج و بحث

شکل ۱ طیف آنالیز عنصری EDX و شکل ۲ نمودار نتایج آنالیز عنصری برای پوشش های Ni-Sn-P ایجاد شده در چگالی جریان های مختلف را نشان می دهد. با توجه به شکل ۲ مشاهده می شود که در چگالی جریان $۲/۵$ آمپر بر دسی متر مربع پوشش دارای درصد بالایی از قلع است و اندکی نیز فسفر مشاهده می شود. با افزایش چگالی جریان تا $۳/۵$ آمپر بر دسی متر مربع، پوشش به یک پوشش پایه نیکل تبدیل شده و با کاهش مقدار قلع

در صد فسفر و نیکل افزایش می‌یابد. با افزایش دوباره ی چگالی جریان تا $4/5$ آمپر بر دسی متر مربع، توزیع عناصر در سطح پوشش نایکتواخت شده و در بعضی نقاط ضمن وجود فسفر، در صد نیکل و قلع برابر و در دیگر نقاط در صد قلع زیاد است. با توجه به این مشاهدات چنین می‌توان نتیجه گیری کرد که فسفر در هر سه حالت به مقدار اندکی در پوشش شرکت می‌کند. رسوب عنصر فسفر در این روش را می‌توان به صورت سیستم رسوب نشانی القایی فرض نمود، چرا که فسفر یک عنصر غیر فلزی است و به تنها ی نمی‌تواند رسوب یابد. این عنصر همراه با عنصرهایی از گروه آهن مثل نیکل می‌تواند رسوب نشانی شود؛ این نوع سیستم رسوب نشانی، سیستم القایی نامیده می‌شود [۱]. اما در مورد عناصر نیکل و قلع با توجه به اینکه قلع نسبت به نیکل نجیب تر است و در صد بالایی در پوشش اشغال کرده است، پس این سیستم یک سیستم رسوب نشانی نرم‌الاست که در آن اغلب عنصر نجیب با دفع عنصر فعال در صد بیشتری را در رسوب اشغال می‌کند. با توجه به اینکه سیستم‌های آبکاری آلایز نرم‌ال نیز خود به سه دسته‌ی باقاعدۀ، بی‌قاعده و تعادلی تقسیم می‌شوند [۱]، برای رسوب نشانی چگالی جریان پوشش‌ها می‌توان سیستم را بی‌قاعده و تعادلی تقسیم می‌شوند. برای رسوب نشانی آلایز القایی و قلع و نیکل در این پوشش‌ها می‌توان سیستم را بی‌قاعده فرمانده فعال در پوشش کاهش و سپس با افزایش بیشتر چگالی جریان، افزایش مربع به $2/5$ آمپر بر دسی متر مربع، در صد قلع در پوشش کاهش و سپس با افزایش بیشتر چگالی جریان، افزایش یافته است. پس این نوع سیستم رسوب نشانی را می‌توان ترکیبی از دو نوع سیستم رسوب نشانی آلایز القایی و بی‌قاعده فرمانده فرمود.

شکل ۳ تصاویر FESEM پوشش‌های Ni-Sn-P ایجاد شده در چگالی جریان‌های مختلف را نشان می‌دهد. همانگونه که از شکل ۳-الف، مشاهده می‌شود مورفولوژی پوشش ایجاد شده در $2/5$ آمپر بر دسی متر مربع بسیار شبیه به مورفولوژی پوشش‌های Ni-Sn با در صد بالای قلع است [۹]. شکل ۳-ب تصویر مورفولوژی پوشش Ni-Sn-P ایجاد شده در چگالی جریان $3/5$ آمپر بر دسی متر مربع را نشان می‌دهد. با توجه به این شکل مورفولوژی گره دار شبیه به مورفولوژی پوشش‌های پایه نیکل که در تطابق با نتایج آنالیز عنصری مشاهده شده در شکل ۲ است.

شکل ۳-ج و ۳-د مورفولوژی پوشش Ni-Sn-P ایجاد شده در $4/5$ آمپر بر دسی متر مربع را نشان می‌دهد. همانگونه که در صد عناصر موجود در سطح پوشش نایکتواخت است، دو نوع مورفولوژی را نیز می‌توان برای این سطح مشاهده کرد. پس با توجه به نتایج EDX و تصاویر FESEM برای ایجاد پوشش در صد بالای نیکل می‌توان از چگالی جریان $3/5$ آمپر بر دسی متر مربع استفاده نمود.

شکل ۴، نمودارهای پلاریزاسیون هر سه پوشش ایجاد شده در چگالی جریان‌های مختلف را در محیط اسید سولفوریک 10 در صد وزنی نشان می‌دهد. داده‌های الکتروشیمیایی استخراج شده برای نمودارهای پلاریزاسیون در جدول ۲ نشان داده شده است. با توجه به شکل ۴ و جدول ۲، پوشش ایجاد شده در چگالی جریان $3/5$ آمپر بر دسی متر مربع دارای شدت خوردگی (i_{corr}) پایین تر و پلاریزاسیون مقاومتی (R_p) بالاتر است. همانطور که می‌دانیم پلاریزاسیون مقاومتی، مقاومت سطحی را نشان می‌دهد و شدت جریان خوردگی

شانزدهمین سبکار ملی مهندسی سطح

نیز مقاومت کلی پوشش را نشان می دهد. با توجه به این نکته که تست خوردگی در محیط اسیدی انجام گرفته است، مقدار پلاریزاسیون مقاومتی برای این محیط مناسب است. علت رفتار خوردگی مناسب برای پوشش ایجاد شده در چگالی جریان $2/5$ آمپر بر دسی مترا مربع را می توان مربوط به درصد بالای نیکل در سطح این پوشش و مقاومت مناسب پوشش های نیکلی ارتباط داد.

همچنین پوشش های ایجاد شده در چگالی جریان های $2/5$ و $4/5$ آمپر بر دسی مترا مربع تمایل به پسیواسیون از خود نشان می دهند که این نیز شاهدی بر رفتار خوردگی مناسب این آلیاژها از طریق تشکیل فیلم پسیو است.

نتیجه گیری

- ۱- پوشش Ni-Sn-P ایجاد شده در چگالی جریان $2/5$ آمپر بر دسی مترا مربع، پوشش پایه قلع بوده و مورفولوژی شبیه به پوشش های Ni-Sn از خود نشان می دهد.
- ۲- پوشش Ni-Sn-P ایجاد شده در چگالی جریان $2/5$ آمپر بر دسی مترا مربع، پوشش پایه نیکل بوده و دارای مورفولوژی شبیه به پوشش های پایه نیکل است.
- ۳- چگالی جریان الکتریکی $4/5$ آمپر بر دسی مترا مربع منجر به ایجاد دو نوع مورفولوژی روی سطح و نایکنواختی ترکیب عنصری در سطح شده است.
- ۴- پوشش Ni-Sn-P ایجاد شده در چگالی جریان الکتریکی $2/5$ آمپر بر دسی مترا مربع با پلاریزاسیون مقاومتی بالا و شدت جریان خوردگی کمتر دارای رفتار خوردگی بهینه نسبت به دیگر پوشش ها است.

مراجع

1. A.Brenner , Electrodeposition of Alloys , Volume 1 ,United Kingdem , ACADIMIC press ,ING , 1963
2. P.Lima neto , A.N.Correia , G.P.da Silva " Structural and Morphological investigation of electrodeposited Cr and Ni-Cr-P coatings and their electrochemical behaviors in chloride aqueous medium " Journal Brazil .chemical.socoity, vol. 17 , No. 7, 2006 ,pp. 1419.
3. T.S.N.Sankara narayanan , S.Selvakumar , A.Stephen " Electroless Ni-Co-P ternary alloy deposits : prepration and characteristics " ELSEVIER , Surface coating and technology,172,2003, pp. 298-307.
4. K.Chen , C.Liu ,D.C.Whalley , D.A.Hutt " Electroless Ni-W-P Alloys as barrier coating for liquid solder Interconnects" Proceeding of the 1 st IEEE Electronic systemintegration technology conference ,Dresden, 5-7 th September 2006, vol. 1, pp. 421-427.
5. Y.H.Chou , Ch.Y.Bai , M.D.Ger ,Sh.J.Lee.Ch.Y.Lee , Ch.L.Chao " Studies on Ni-Mo-P Coating by electroless deposition " Journal of key engineering materials , vol 364-366,2008, pp 333-339.

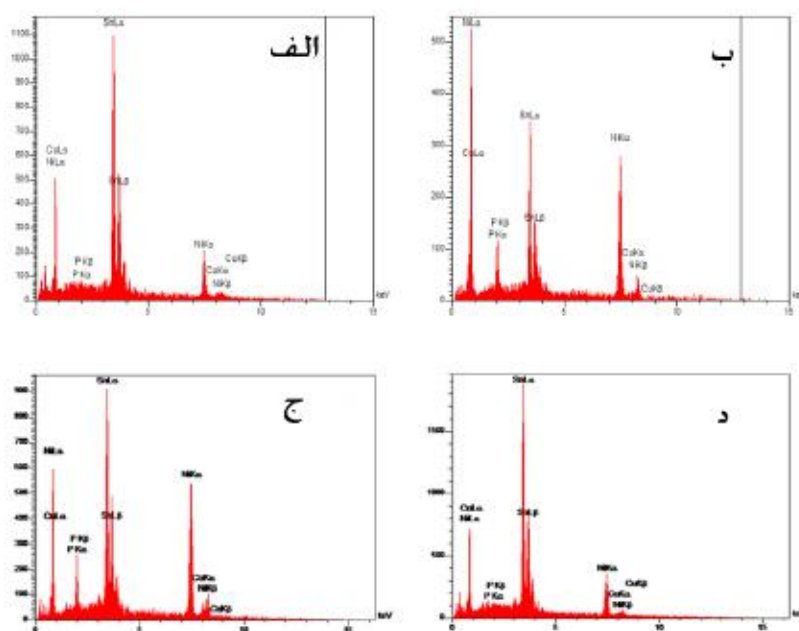
6. M.Cisse , M.Abouchana , T.Anik ,K.Himm , R.Allahah Belakhmima , M.Tohami , R.Touir , A.Amiar " Corrosion Resistance of Electroless Ni-Cu-P Ternary Alloy coatings in Acidic and Neutral corrosive mediums " hindawi publishing corporation journal of corrosion ,2010 ,AI: 246908.
 7. S.L.Wang " Studies of electroless plating of Ni-Fe-P alloys and the influences of some deposition parameters on the properties of the deposit " ELSEVIER . Surface and coating technology,186, 2004 , pp. 372-376.
 8. J.Gergieva, S.Kawashima, S.Armyanova, E.Valova, A.Hubin,Y.Koyama, O.Steenhaut, J. Haydu, J.L. Delplancke, Ts.Tsacheva, " Electroless Deposition of Ni-Sn-P and Ni-Sn-Cu-P coatings", Journal of the Electrochemical Society, 2005, 152(11), pp.778-788.
 9. U.C. Lacnjevac, V.D.Jovic, B.M.Jovic, " Electrodeposition and Characterization of Ni-Sn- alloy Coatings as Cathode Mterial for Hydrogen Evolution Reaction in Alkaline Solution", Zastita Matejala 52, 2011, Broj 3.
 10. W.X.Zhang , Z.H.Jiang , G.Y.Li, q.Jiang , J.S.Lian " Electroless Ni-Sn-P coating on AZ91D magnesium alloy and its corrosion resistance " ELSEVIER, Journal of surface and coating technology , 202,2008,pp 2570-2576.
 11. Y-X.Wang, L.Huang, Y-Q, Chang, F.Sh. Ke, J-T Li, Sh-G. Sun, " Fabrication and Electrochemical Properties of Sn-Ni-P Alloy Rods Array Electrode for Lithium-ion Batteries " , ELSEVIER Electrochemistry Communications, 2010,pp. 1226-1229.
 12. H.Z.Wang , Y.Song , Z.X.Zhang , S.W.Yao ,W.G.Zhang " Corrosion behaviour of electrodeposited Ni-Sn-P alloy " Institue of Material , Mineral and Mining published by Maney , Journal of Surface engineering , 2013 ,29, No1.
۱۳. ب. گانیدا، پوشش کاری الکترولیتی، ن. پروینی احمدی، تبریز، انتشارات دانشگاه صنعتی سهند، ۱۳۸۲
۱۴. فونتانا، مهندسی خوردگی، ا. ساعتچی اصفهان، انتشارات جهاد دانشگاه واحد صنعتی اصفهان، ۱۳۷۸

جدول ۱: ترکیب حمام بکار رفته برای رسوب نشانی الکتریکی

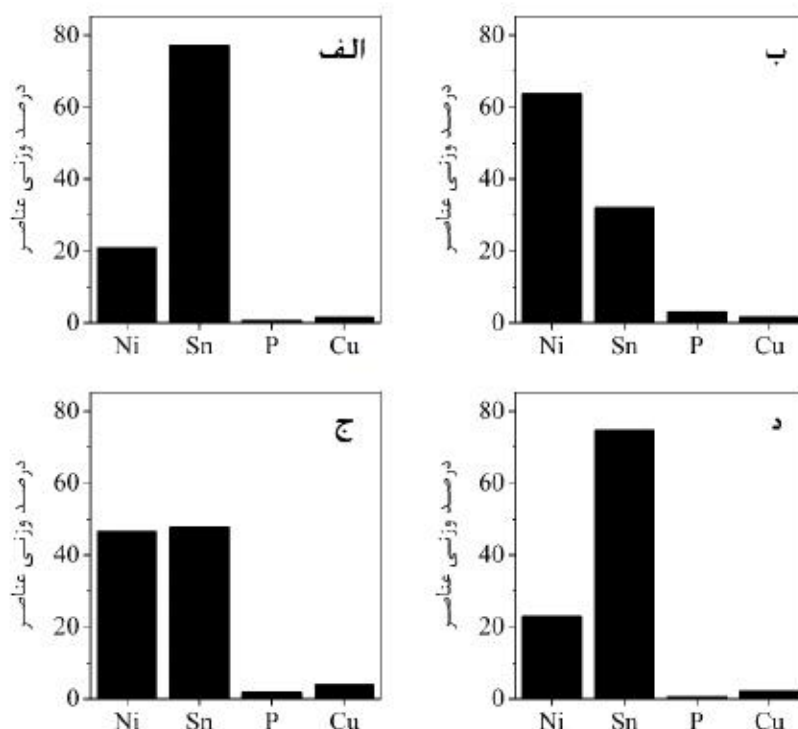
ماده	خلقت (g/l)
سولفات نیکل ($\text{NiSO}_4 \cdot 6\text{H}_2\text{O}$)	۶۰
کارید قلع ($\text{SnCl}_2 \cdot 2\text{H}_2\text{O}$)	۱۲
هیپوفسفیت سدیم ($\text{NaH}_2\text{PO}_2 \cdot \text{H}_2\text{O}$)	۳۵
تری سدیم سیترات ($\text{Na}_3\text{C}_6\text{H}_5\text{O}_7$)	۵۰
سدیم کارید (NaCl)	۷۵

جدول ۲: نتایج الکتروشیمیایی محاسبه شده با استفاده از نمودارهای پلاریزاسیون

i_{corr} ($\mu\text{A}/\text{cm}^2$)	R_p ($\Omega \cdot \text{cm}^2$)	β_a (mV/dec)	$-\beta_c$ (mV/dec)	E_{corr} Vs KCl	چگالی جریان رسوب نشانی (A/dm^2)
۲۶/۸	۲۲۴	۱۸/۴۷	۵۵/۴۳۷	۴۸۱	۲/۵
۱۲/۸	۱۲۴۴/۷	۴۹/۳۳	۱۱۳/۱۵۹	۴۰۰	۳/۵
۵۴	۳۱۰/۷۳	۲۹۰/۴۲۹	۴۴/۵۰۷	۳۳۳/۳۰۲	۴/۵

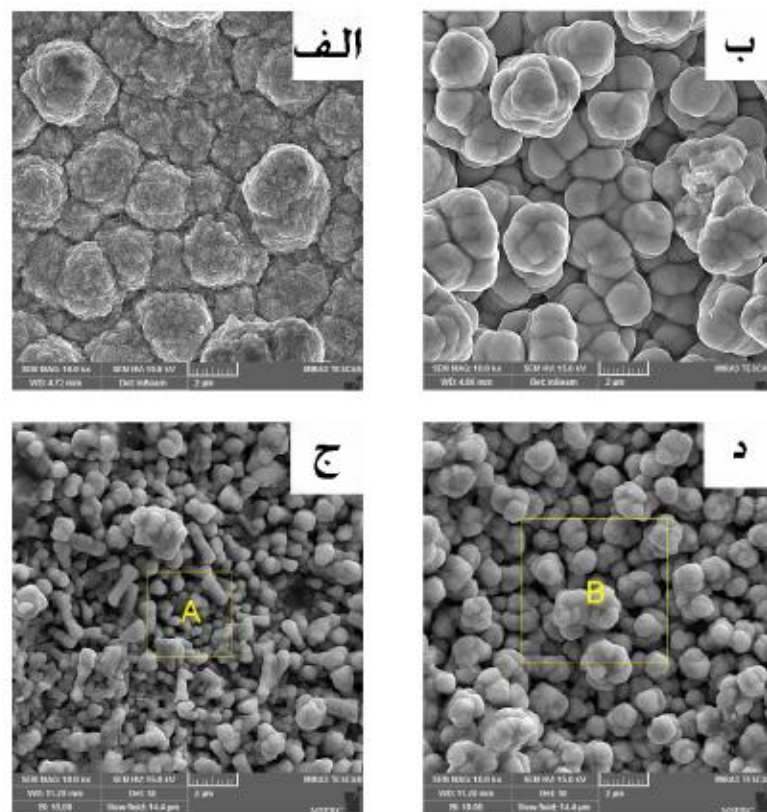


شکل ۱: آنالیز عنصری پوشش های Ni-Sn-P ایجاد شده در چگالی جریان های آبکاری (الف) ۲/۵ آمپر بر دسی متر مربع، (ب) ۳/۵ آمپر بر دسی متر مربع، (ج و د) ۴/۵ آمپر بر دسی متر مربع، دو مورفولوژی متفاوت.

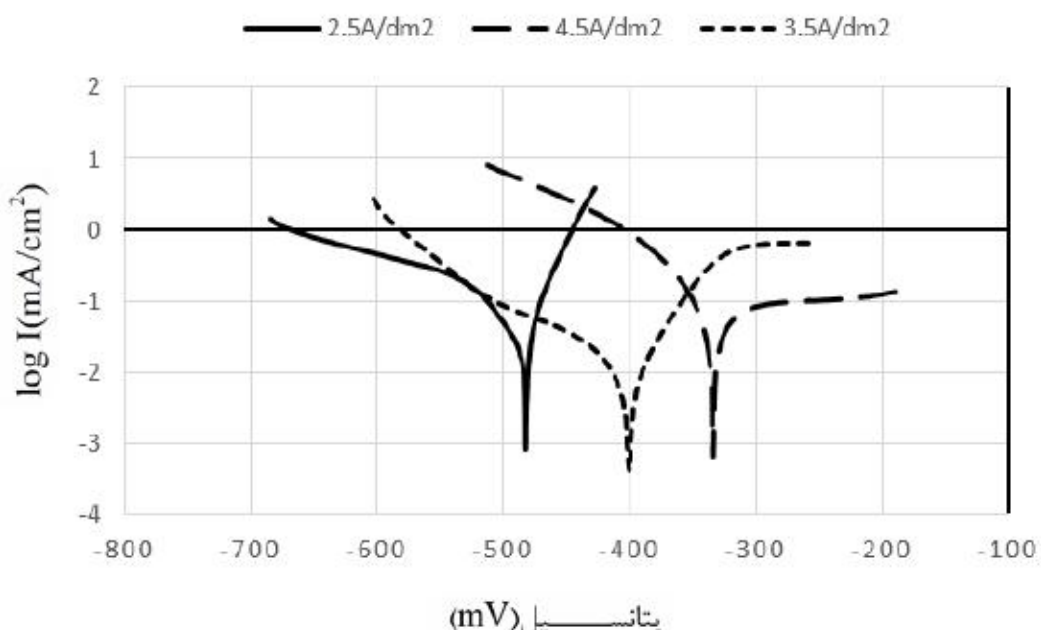


شکل ۲: نتایج آنالیز عنصری برای پوشش های Ni-Sn-P ایجاد شده در چگالی جریان های پوشش دهنده. (الف) ۲/۵ آمپر بر دسی متر مربع، (ب) ۳/۵ آمپر بر دسی متر مربع، (ج و د) ۴/۵ آمپر بر دسی متر مربع، دو مورفولوژی متفاوت.

شانزدهمین سبیار ملی مهندسی سطح



شکل ۳: تصاویر FESEM پوشش های Ni-Sn-P ایجاد شده در چگالی جریان (الف) ۲/۵ آمپر بر دسی متر مربع، (ب) ۴/۵ آمپر بر دسی متر مربع، (ج و د) ۲/۵ آمپر بر دسی متر مربع، دو مورفولوژی متفاوت.



شکل ۴: نمودارهای پلاریزاسیون پوشش های ایجاد شده در چگالی جریان های متفاوت در محیط اسید سولفوریک